



اثرات حفاظتی پنتوکسی فیلین بر مرگ سلوی القا شده توسط مت آمفتمامین در سلول های

PC12

كميل اميني^۱، حسين ژاله^{۲*}، محمدرضا نوراي^۳، رمضانعلي طاهرى^۳

۱- گروه بيوتكنولوجى، دانشکده علوم و فناوري های زبستى، دانشگاه اصفهان، اصفهان، ايران.

۲- مرکز تحقیقات پیشگیری سوهمصرف مواد، دانشگاه علوم پزشکی کرمانشاه، کرمانشاه، ايران.

۳- مرکز تحقیقات نانوبيوتكنولوجى، دانشگاه علوم پزشکی بقیه الله، تهران، ايران.

تاریخ دریافت: ۱۴۰۱/۰۶/۲۹، تاریخ پذیرش: ۱۴۰۱/۱۰/۲۶

چکیده

مقدمه: سوء مصرف مت آمفتمامين يك نگرانى جهانى در چند دهه اخیر بوده است. ۳/۵ ميليون نفر تحت تأثير سوء مصرف مت آمفتمامين قرار گرفته اند و اين مسئله در حال افزایش است. مت آمفتمامين موجب القا آپوپتووز در اکثر رده های سلوی می شود. بهنظر مى رسد پنتوکسی فیلین به عنوان يك مهارکننده فسفودى استراز، توانايى كاهش التهاب را در نتيجه توانايى مرج سلوی ناشى از مت آمفتمامين در سلول های عصبي را دارد.

مواد و روش ها: در اين مطالعه، سلول های PC12 در محیط كشت DMEM رشد داده شدند. از آزمون MTT برای بقای سلول، آزمون LDH برای اندازه گيرى سميت سلوی، كيت سنجش رنگ سنجي فعالیت کاسپاز (Bio-technne) برای تشخيص فعالیت کاسپاز^۳، رودامین ۱۲۳ برای تشخيص پتانسیل غشای میتوکندری و میکروسکوب فلورسانس برای اندازه گيرى فعالیت آنزیم های آنتی اکسیدانی استفاده گردید.

نتایج: پنتوکسی فیلین باعث افزایش بقای سلوی و جذب رودامین-۱۲۳ و کاهش سمیت سلوی و فعالیت کاسپاز-۳ در تمام غلظت های ۱ نانومولار تا ۱۰۰ میکرومولار شد و غلظت بهينه آن ۱۰۰ میکرومولار می باشد ($P < 0.05$).

نتیجه گیری: پنتوکسی فیلین به عنوان يك مهارکننده فسفودى استراز مى تواند با اثرات ضد التهابي خود، مرگ سلوی ناشى از مت آمفتمامين را به ميزان قابل توجهى كاهش دهد.

واژه های کلیدی: مت آمفتمامين، پنتوکسی فیلین، آپوپتووز، مرگ سلوی.

نويسنده مسئول: مرکز تحقیقات پیشگیری سوهمصرف مواد، دانشگاه علوم پزشکی کرمانشاه، ايران، تلفن: ۰۸۳۳۸۲۶۴۵۱۳، نمبر: ۰۸۳۳۸۲۶۴۵۱۳، hossain_jale@yahoo.com

ارجاع: اميني كميل، ژاله حسين، نوراي محمدرضا، طاهرى رمضانعلي. اثرات حفاظتی پنتوکسی فیلین بر مرگ سلوی القا شده توسط مت آمفتمامين در سلول های PC12. مجله دانش و تدرستی در علوم پایه پزشکی، ۱۴۰۱(۱):۶۷-۶۰.

عروقی و ناباروری آقایان مورد استفاده قرار می‌گیرد (۱۳ و ۱۴). پنتوکسی فیلین به عنوان تبدیل کننده ایمنی دارای عملکردهای ضدالتهابی است که سنتز سیتوکین‌های مختلف التهابی مانند IL-1, IL-6, IL-10, IL-R, TNF- α , TNF- γ , IL-2, C-Rel, NF-KB، به ویژه RelB، P50 و CAMP-PKA را تحریک کرده، که نقش مهمی در تمایز و بلوغ سلول‌های دندانیتیک مشتق شده از مونوسیت‌های انسانی دارند (۱۷). با این حال، هنوز مطالعه‌ای در مورد اثرات بازدارنده و محافظتی پنتوکسی فیلین بر نقش تخریبی مت‌آفتامین در سلول‌های عصبی انجام نشده است. از این‌رو با توجه به اثرات ضدالتهابی داروی پنتوکسی فیلین بر سلول‌های ایمنی و عصبی برآن شدیم تا در این مطالعه اثرات غلظت‌های مختلف پنتوکسی فیلین بر غلظت کشنده داروی مت‌آفتامین در سلول‌های PC12 مورد بررسی قرار دهیم.

مواد و روش‌ها

ابتدا رده سلولی PC12 را که منشأ از تومور فتوکروموموستیوما واقع در مدولای غده فوق کالیوی موش صحرایی (قسمتی از غده فوق کلیه که ماهیت عصبی دارد) به دست آمده است را در محیط کشت FBS (Gibco, UK) DMEM (Gibco, UK) با ۱۰٪ سرم جنین گاوی (NEAA, UK)، ۱٪ اسید آمینه غیرضروری (Sigma, USA) (Sigma, USA)، ۲ میلی‌مولار ال-گلوتامین (Sigma, USA)، ۱۰۰IU/ml سیلین (سیگما) و ۱۰۰ میکروگرم بر میلی‌لیتر استرپتومایسین (Sigma) در فلاسک‌های کشت سلول T-25 سانتی‌متر مریع رشد داده شدند و هر ۲ روز یکبار تعویض شدند. هنگامی که کشت‌های سلولی به ۷۰ تا ۸۰ درصد تلاقی رسیدند، با استفاده از تریپسین-EDTA ۰.۲۵ درصد (Sigma, USA) تریپسینه و با تراکم 1×10^4 سلول در میلی‌لیتر در ظروف کشت سلولی ۲۴ خانه کشت داده شدند.

در این مطالعه هفت گروه تیماری شامل کنترل: محیط کشت سلولی بدون پنتوکسی فیلین و مت‌آفتامین، تیمار ۱: ۱ میلی‌مولار مت‌آفتامین بدون پنتوکسی فیلین، تیمار ۲: ۱ میلی‌مولار مت‌آفتامین همراه با ۱ نانومولار پنتوکسی فیلین، تیمار ۳: ۱ میلی‌مولار مت‌آفتامین همراه با ۱۰ نانومولار پنتوکسی فیلین، تیمار ۴: ۱ میلی‌مولار مت‌آفتامین همراه با ۱۰۰ نانومولار پنتوکسی فیلین، تیمار ۵: ۱ میلی‌مولار مت‌آفتامین همراه با ۱ میکرومولار پنتوکسی فیلین، تیمار ۶: ۱ میلی‌مولار مت‌آفتامین همراه با ۱۰ میکرومولار پنتوکسی فیلین و تیمار ۷: ۱ میلی‌مولار مت‌آفتامین همراه با ۱۰۰ میکرومولار پنتوکسی فیلین وجود دارند. سپس سلول‌ها در انکوباتور در دمای ۳۷ درجه سانتی‌گراد با ۵ درصد CO₂ قرار داده شدند.

مقدمه

سوء مصرف مواد روان‌گردان یکی از مهمترین عواملی است که بر فرآیندهای یادگیری، حافظه، افسردگی، بازسازی، شکل‌گیری و انعطاف‌پذیری دلالت دارد. عصب‌زایی تحت تأثیر شرایط مختلف فیزیولوژیکی و پاتولوژیک، عوامل رشد، سایتوکین‌ها و داروها قرار می‌گیرد (۲ و ۳).

داروهای آگونیست اپیوئیدی و مت‌آفتامین جزء پرمصرف‌ترین داروهای اعتیادآور و مخرب هستند که مسیرهای متعدد درون سلولی در سیستم عصبی از جمله تغییر در آبشارهای پیام‌رسانی درون سلولی و ترشح سیتوکین‌ها در سلول‌های عصبی و گلیال را مورد هدف قرار می‌دهند (۴ و ۵). مصرف مزمن داروهای روان‌گردان مانند مت‌آفتامین در مغز معتادان موجب تغییر بیان ژن‌های متعدد از جمله ژن‌های ویژه فاکتورهای رونویسی مانند Creb, fosB و NF-KB در هسته اکومبنس می‌شود (۶ و ۷). مت‌آفتامین آگونیست گیرنده تریپسین‌آمین ۱ (TAAR1) است که از انواع گیرندهای جفت شده با G پروتئین‌ها (GPCR) می‌باشد که نقش مهمی در تنظیم مونوآمین‌ها در سلول‌های مغزی ایفا می‌کند (۸). تحریک TAAR1 توسط مت‌آفتامین، فعالیت ناقل مونوآمین‌ها در سلول‌های آستروسیت و میکروگلیال مغز را مهار می‌کند. کوکائین و مت‌آفتامین می‌توانند رونویسی از ژن Cart به عنوان یک نوروپیتید مهم در گیرنده‌ای رفتارهای تعذیبی، استرس و پاداش را تنظیم و نقش مهمی در بقای نورون‌ها در سلول‌های مغزی ایفا کنند (۹).

مت‌آفتامین مانند مورفین می‌تواند فعالیت گیرندهای دوپامین را افزایش و فعالیت گیرندهای N-methyl-D-aspartate (NMDA) را تغییر و ورود یون کلسیم به درون سلول‌های عصبی را افزایش دهد (۱۰). از سوی دیگر، مهار گیرنده NMDA توسط یون منیزیم در مصرف کنندگان مت‌آفتامین می‌تواند به عنوان یک درمان اولیه برای کنترل ورود کلسیم به سلول‌های عصبی و جلوگیری از تخریب سلول‌های عصبی مؤثر باشد (۱۱).

اخیراً نشان داده شده است که سیگنال‌های مشترک زیادی میان آگونیست‌های اپیوئیدی و مت‌آفتامین وجود دارد. این گیرنده‌ها در سیستم عصبی، سلول‌های آستروسیت و میکروگلیال را مورد هدف قرار داده و در صورت تحریک می‌توانند فعالیت و ترشح سیتوکین‌های التهابی مانند اینتلوكین ۱ بتا، فاکتور نکروز آلفا، پروستاگلاندین‌ها و بسیاری از واسطه‌های التهابی دیگر را افزایش دهند (۱۲).

پنتوکسی فیلین یک مشتق متیل گرانتن و مهارکننده غیراختصاصی فسفودی استراز است که به راحتی در آب حل شده و نیمه عمر طولانی دارد. این دارو به طور گسترده جهت درمان ناهنجاری‌های

دقیقه در دمای ۳۷ درجه سانتی گراد انکوبه شدن. سپس جذب سلول‌ها با محاسبه جذب نمونه‌ها در تحریک ۴۸۸ و نشر ۵۲۵ نانومتر با استفاده از دستگاه میکروپلیت ریدر (Bio Tek Plate Reader, EL800, USA) اندازه‌گیری شد. طول موج مرجع بیش از ۶۳۰ نانومتر در نظر گرفته شد. همه آزمایش‌ها به طور مستقل حداقل ۳ بار تکرار شدند. در هر آزمایش، ما هر موقعیت را ۴ بار تکرار کردیم (۲۱). به منظور اندازه‌گیری میزان OH یا ROS درون سلولی، سلول‌ها با تراکم 3×10^3 سلول در میلی لیتر کشت در محیط‌های مختلف تیماری در ظروف کشت سلولی ۲۴ خانه به مدت ۲۴ ساعت کشت داده شدند و سپس سه بار با بافر کربس-رینگر-هپس (KRH) شسته شدند و سلول‌ها به مدت ۱ ساعت در دمای ۳۷ درجه سانتی گراد انکوبه شدند. فلورسانس محلول در ۴۹۰ نانومتر تهییج و در طول موج ۵۲۵ نانومتر بازنشر آن با استفاده از دستگاه تصویربرداری سلولی (Cytation 5) بازنشر آن با استفاده از دستگاه تصویربرداری سلولی (Cell Imaging Multi Mode reader) اندازه‌گیری شد (۲۲).

جهت بررسی و تجزیه و تحلیل آماری داده‌های حاصل از مطالعه از نرم افزار آماری SPSS و رزن ۲۱ و روش تجزیه آماری ANOVA و T-Test و برای رسم نمودارها از برنامه Excel استفاده شد و سطح معنی‌دار بودن داده‌ها نیز در سطح 95% مشخص گردید. در این مطالعه، جهت بررسی و مطالعه آماری اختلاف‌های درون گروهی در هر مطالعه، جهت بررسی و مطالعه آماری تجزیه آماری ANOVA و بررسی آماری اختلافات بین تیمارهای دو گروه با هم از روش تجزیه آماری T-Test استفاده گردید.

نتایج

بقا سلول‌ها ۲۴ ساعت پس از تیمار دارویی اندازه‌گیری شد. در گروه کنترل، نتایج نشان داد که درصد زنده ماندن سلول ۹۹ درصد بود. در تیمار ۱، تمام سلول‌ها مرده بودند و درصد زنده ماندن سلول ۰ درصد بود. بقا سلولی برای تیمارهای ۲ تا ۷ به ترتیب ۲٪، ۱۶٪، ۳۲٪، ۴۹٪، ۶۹٪، ۸۲٪ و ۹۳٪ بود. نتایج نشان داد که قرار گرفتن سلول‌ها در محیط‌های تیمارهای ۲ تا ۷ به ترتیب موجب کاهش میزان بقا سلولی در مقایسه با سلول‌های کنترل می‌شود ($P < 0.05$). درصد بقا سلولی در تیمارهای ۲ تا ۷ نسبت به تیمار ۱ افزایش یافت ($P < 0.05$). کمترین میزان بقا سلولی مربوط به تیمار ۱ (۰٪) و بیشترین مربوط به تیمار ۷ (۹۳٪) بود ($P > 0.05$) (نمودار ۱).

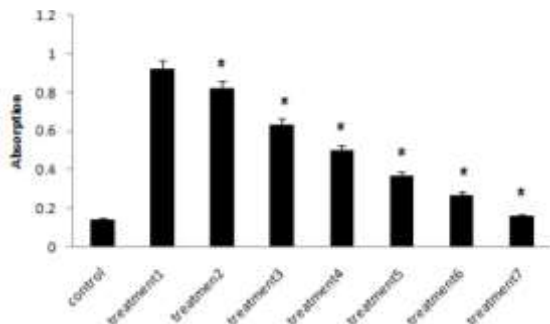
سمیت سلولی ۲۴ ساعت پس از تیمار سلول‌ها اندازه‌گیری شد. در گروه کنترل، نتایج این آزمایش نشان داد که درصد سمیت سلولی ۲ درصد بود. در تیمار ۱، تمام سلول‌ها مرده بودند و درصد سمیت سلولی ۱۰۰ درصد بود. سمیت سلولی برای تیمارهای ۲ تا ۷ به ترتیب ۷۰٪، ۸۷٪ درصد، ۴۲٪ درصد، ۲۱٪ درصد و ۵٪ درصد بود. نتایج نشان داد که با قرار گرفتن سلول‌ها در محیط تیمارهای ۲ تا ۷، سمیت سلولی نسبت

باقی سلول‌ها با استفاده از روش MTT اندازه‌گیری شد. سلول‌ها با تراکم 15×10^3 سلول در میلی لیتر در ظروف کشت سلولی ۹۶ خانه کشت داده شدند و ۲۰۰ میکرولیتر محیط (Gibco, UK) DMEM به هر خانه اضافه شد. پس از ۲۴ ساعت حاوی ۵ درصد FBS به هر خانه اضافه شد. سلول‌ها به مدت ۲۴ ساعت انکوباسیون، محیط کشت سلول‌ها با ۲۰۰ میکرولیتر از محیط‌های مختلف تیماری تعویض شد. سلول‌ها به مدت ۲۴ ساعت انکوبه شدند. سپس مایع‌رویی از هر چاهک خارج شد و ۵۰ میکرولیتر محلول MTT (Sigma, USA) (۵ میلی گرم در میلی لیتر) به هر چاهک اضافه شد و به مدت ۳ ساعت انکوبه شد. سپس مایع‌رویی هر چاهک برداشته شد و به مدت ۱۰۰ میکرولیتر دی متیل سولفونکسید به آن اضافه شد تا بلورهای فورمازان در دمای اتاق به مدت ۳۰ دقیقه حل شوند. چگالی نوری با استفاده از دستگاه میکروپلیت ریدر (Bio Tek Plate Reader, EL800, USA) در طول موج‌های ۵۷۰ نانومتر اندازه‌گیری شد. همه آزمایش‌ها به طور مستقل حداقل ۳ بار تکرار شدند. در هر آزمایش، ما هر موقعیت را ۴ بار تکرار کردیم (۱۸).

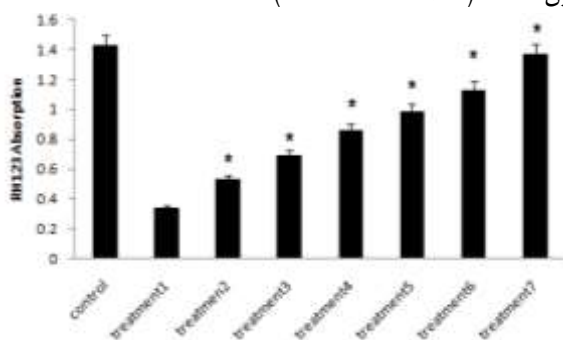
سمیت سلولی با اندازه‌گیری میزان آزادسازی آنزیم لاکتات دهیدروژنаз (LDH) از سلول‌های آسیب‌دیده یا تخربی شده به داخل محیط کشت سلول‌ها اندازه‌گیری شد. سمیت سلولی با کیت تشخیص سمیت سلولی LDH (Roche, Germany) شد. سلول‌ها در ظروف کشت سلولی ۲۴ خانه با تراکم $10^3 \times 10^3$ سلول در میلی لیتر به مدت ۱۲ ساعت قرار گرفتند. سپس سلول‌ها با محیط‌های مختلف تیماری به مدت ۲۴ ساعت انکوبه شدند. درصد سمیت سلولی با پروتکل شرکت اندازه‌گیری شد. رنگ‌سنجدی فعالیت LDH با محاسبه جذب نمونه‌ها در ۴۹۰ یا ۴۹۰ نانومتر با استفاده از دستگاه میکروپلیت ریدر (Bio Tek Plate Reader, EL800, USA) اندازه‌گیری شد. طول موج مرجع باید بیش از ۶۰۰ نانومتر باشد. همه آزمایش‌ها به طور مستقل حداقل ۳ بار تکرار شدند. در هر آزمایش، ما هر موقعیت را ۴ بار تکرار کردیم (۱۹).

سلول‌های PC12 در محیط‌های مختلف تیماری با تراکم 10^5 سلول در میلی لیتر کشت داده شدند. فعالیت کاسپیاز-۳ از سلول‌های تیمار شده با استفاده از کیت سنجش رنگ‌سنجدی فعالیت کاسپیاز (Bio-techne, USA) طبق پروتکل شرکت سازنده با استفاده از دستگاه استفاده از دستگاه میکروپلیت ریدر (Bio Tek Plate Reader, EL800, USA) اندازه‌گیری شد (۲۰).

پتانسیل غشای میتوکندری با استفاده از پروب فلورسانس کاتیونی نفوذپذیر سلولی رودامین ۱۲۳ اندازه‌گیری شد. سلول‌ها با تراکم 3×10^3 سلول در میلی لیتر کشت در محیط‌های مختلف تیماری در ظروف کشت سلولی ۲۴ خانه کشت داده شدند، سپس با PBS شسته شدند و توسط ۱ میکرومولار رودامین ۱۲۳ در تاریکی به مدت ۳۰

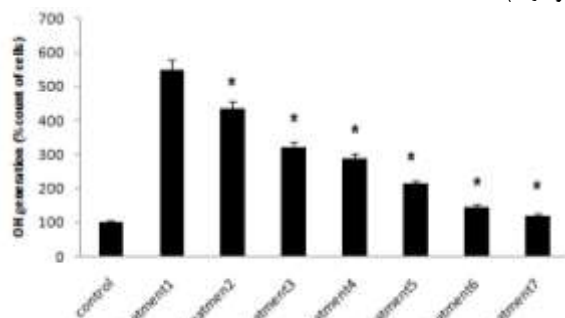


نمودار ۳- تأثیر تیمارهای مختلف پنتوکسیفیلین بر فعالیت آنزیم کاسپاز-۳ در سلول‌ها
*: ستون‌ها با این نماد دارای اختلاف معنادار با تیمار ۱ و گروه کنترل هستند (ANOVA, $P<0.05$).



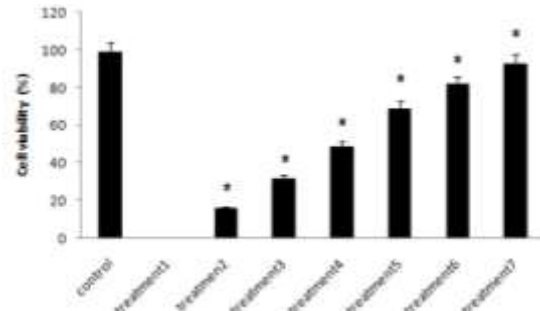
نمودار ۴- تأثیر تیمارهای مختلف پنتوکسیفیلین بر پتانسیل غشای میتوکندری (جذب رودامین (۱۲۳) در سلول‌ها
*: ستون‌ها با این نماد دارای اختلاف معنادار با تیمار ۱ و گروه کنترل هستند (ANOVA, $P<0.05$).

قرار گرفتن سلول‌های PC12 با محیط‌های مختلف تیمار تأثیر واضحی بر تولید OH (ROS) داشت. در تیمارهای ۷-۲، تولید OH در مقایسه با سلول‌های شاهد افزایش یافت ($P>0.05$). در تیمارهای ۷-۲، میزان OH در مقایسه با تیمار ۱ کاهش یافت ($P>0.05$) (نمودار ۵).

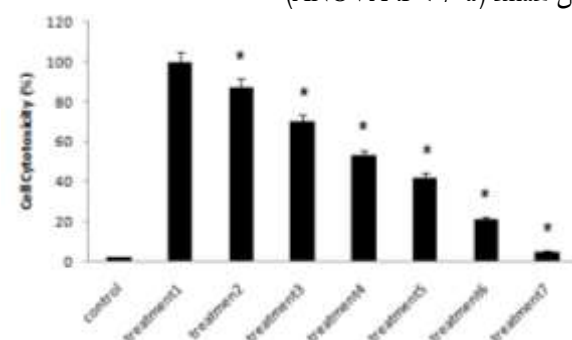


نمودار ۵- تأثیر تیمارهای مختلف پنتوکسیفیلین بر میزان تولید گونه‌های اکسیژن فعال درون‌زا (ROS) در سلول‌های تیمار شده

به سلول‌های گروه کنترل افزایش یافت ($P>0.05$). درصد سمیت سلولی در تیمارهای ۲ تا ۷ نسبت به تیمار ۱ کاهش یافت ($P>0.05$). کمترین سمیت سلولی مربوط به تیمار ۷ (۰.۵٪) و بیشترین سمیت سلولی مربوط به تیمار ۱ (۱۰٪) بود ($P>0.05$). هیچ اختلاف معناداری میان گروه کنترل و تیمار ۷ مشاهده نشد (نمودار ۶).



نمودار ۱- تأثیر تیمارهای مختلف پنتوکسیفیلین بر بقای سلول‌ها
*: ستون‌ها با این نماد دارای اختلاف معنادار با تیمار ۱ و گروه کنترل هستند (ANOVA, $P<0.05$).



نمودار ۲- تأثیر تیمارهای مختلف پنتوکسیفیلین بر سمیت سلولی
*: ستون‌ها با این نماد دارای اختلاف معنادار با تیمار ۱ و گروه کنترل هستند (ANOVA, $P<0.05$).

نتایج نشان داد که فعالیت کاسپاز-۳ ۲۴ ساعت پس از تیمار در تیمارهای ۷-۲ نسبت به گروه کنترل افزایش یافت ($P<0.05$). فعالیت کاسپاز ۳ در سلول‌های کنترل کمتر از سایر تیمارها بود (تیمارهای ۱-۷) ($P>0.05$). فعالیت کاسپاز ۳ در تیمارهای ۷-۲ به ترتیب کمتر از تیمار ۱ بود ($P>0.05$) (نمودار ۳).

میزان جذب RH-123 در تمامی تیمارها پس از ۲۴ ساعت نسبت به گروه کنترل کاهش یافت ($P>0.05$). جذب رودامین-۱۲۳ در سلول‌های شاهد بیشتر از سایر تیمارها بود (تیمارهای ۱-۷) ($P>0.05$). جذب رودامین-۱۲۳ در تیمارهای ۷-۲ به ترتیب بیشتر از تیمار ۱ بود ($P>0.05$) (نمودار ۴).

*: ستون‌ها با این نماد دارای اختلاف معنادار با تیمار ۱ و گروه کنترل هستند ($P < 0.05$).

بحث

بیان سیتوکاین‌های التهابی و تولید رادیکال‌های آزاد، منجر به التهاب عصبی در بیماری‌های نورودئزتراتیو می‌شود. آسیب و التهاب سلول‌های میکروگلی، سلول‌های شبه ایمنی عصبی، را فعال می‌کند و سیتوکین‌های این سلول‌ها به محل آسیب و التهاب مهاجرت کرده و سیتوکین‌های التهابی، پروستاگلاندین‌ها، NO و سوپراکسید را ترشح می‌کنند (۲۳). متآمفتامین به عنوان یک محرك قوی سیستم عصبی مرکزی، با القای آزادسازی گسترده دوپامین از وزینکول‌های سیناپسی، موجب تولید گسترده ROS می‌شود (۲۴). تولید NO ناشی از مصرف متآمفتامین در سیستم عصبی مرکزی موجب فعال سازی میکروگلی‌ها شده و می‌تواند موجب افزایش آسیب سلول‌های عصبی ناشی از استرس گردد. مطالعات قبلی نشان داده است که متآمفتامین سلول‌های میکروگلی را فعال و بیان بسیاری از عوامل التهابی مانند IL-6، TNF- α ، IL-1b و RNS را افزایش دهد (۲۵ و ۲۶).

پنتوکسی‌فیلین یا اوکس-پنتوکسی‌فیلین به عنوان یکی از مشتقات متیله گزانتین می‌تواند فسفودی استراز را به طور غیرانتخابی مهار و منجر به کاهش بیان زن-TNF-آلfa و لکوتین‌ها و افزایش cAMP داخل سلولی می‌شود که در نهایت فرآیندهای التهابی و ایمنی ذاتی را کاهش می‌دهد. فاکتور نکروز تومور الfa (TNF- α) به عنوان یک سیتوکین بر مسیرهای سیتوکین/کموکاین تأثیر می‌گذارد که بین سیستم عصبی مرکزی و سیستم ایمنی در تعامل است (۲۷). در یک مطالعه نشان داده شد که داروی متاپومورفین موجب تغییرات رفتاری و کاهش تعداد شدید در سلول‌های دوپامینزیک در مغز می‌شود که داروی پنتوکسی‌فیلین می‌تواند مانع این تغییرات گردد (۲۸). در مطالعه حاضر، اثرات غلظت‌های مختلف پنتوکسی‌فیلین بر سمیت سلولی متآمفتامین در سلول‌های PC12 به عنوان یک رده سلولی عصبی موش صحرایی مورد بررسی قرار گرفت و نقش محافظت عصبی پنتوکسی‌فیلین بررسی شد. در این راستا، نتایج حاصل از آزمون‌های LDH در سلول PC12 تیمار شده (در غلظت‌های مختلف) و تیمار نشده با متآمفتامین ناشی از پنتوکسی‌فیلین به دست آمد و نتایج نقش محافظت عصبی پنتوکسی‌فیلین را تأیید کرد تأثیر گذاشت، زیرا هر چه غلظت این ماده بیشتر باشد، سمیت سلول‌ها کمتر می‌شود. نوری و همکاران نشان دادند که غلظت ۱۰۰ میلی‌گرم بر کیلوگرم داروی پنتوکسی‌فیلین موجب مهار اثرات تخریبی داروی اکستلزی یا MDMA در سلول‌های بیضه موش صحرایی می‌گردد که مؤید اثرات حفاظتی داروی پنتوکسی‌فیلین است (۲۹). در ادامه، میزان بقا سلول‌های PC12 افزایش دهد و پنتوکسی‌فیلین می‌تواند فعالیت کاسپاز-۳ را از طریق

کنترل را با استفاده از آزمون MTT اندازه‌گیری کردیم. نتایج نشان داد که با افزایش غلظت پنتوکسی‌فیلین، میزان بقا سلول‌ها نیز افزایش می‌یابد. موثقی و همکاران در سال ۲۰۱۹ نشان دادند که پنتوکسی‌فیلین موجب کاهش سلول‌های آپوپتوز شده در سلول‌های عصبی در مغز موش‌های صحرایی مصرف کننده داروی اکستازی یا MDMA می‌شود (۳۰). داده‌های ما در این تحقیق تأیید کننده مطالعات قبلی محققین است.

سوء مصرف متآمفتامین موجب افزایش فعالیت کاسپاز-۳، در سلول‌های زیایی بیضه موش صحرایی ویستار می‌شود و موجب افزایش مرگ سلولی و کاهش تکثیر سلولی می‌شود. بررسی‌های بعدی نشان داد که پیش‌درمان پنتوکسی‌فیلین در موش‌های ویستاری که در معرض متآمفتامین با تزریق ۲۰۰ میلی‌گرم بر کیلوگرم قرار گرفتند، منجر به کاهش کاسپاز-۳ و پیشگیری مرگ سلولی آپوپتوزی می‌شود (۲۹). در این مطالعه، متآمفتامین موجب تولید ROS بالا و پنتوکسی‌فیلین در غلظت‌های مختلف، با غلظت پیشنه ۱۰۰ میکرومولا، موجب کاهش تولید ROS می‌شود. به نظر می‌رسد که ROS برای عملکردهای فیزیولوژیکی طبیعی سلولی مانند چرخه سلولی، تکثیر، تمایز، مهاجرت و مرگ سلولی ضروری است. افزایش ROS می‌تواند موجب اختلال عملکرد پروتئین‌ها، اسید نوکلئیک و اندامک‌ها شده که این مسأله می‌تواند منجر به فعال شدن آپوپتوز به عنوان یک فرآیند مرگ سلولی تنظیم شده در مسیر پاسخ التهابی گردد (۳۱ و ۳۲). در این مطالعه پنتوکسی‌فیلین تولید ROS را کاهش و نقش خدآپوپتوز و ضدالتهابی دارد. پارک و همکاران نشان دادند که پنتوکسی‌فیلین در ناحیه CA1 هیبوکامپ موش‌های صحرایی که در معرض هیبوکسی-ایسکمی بودند، خاصیت ضدآپوپوتیک PTX در هیبوکامپ بودند باعث افزایش Bcl-2 و کاهش فعالیت کاسپاز-۳ و Bax می‌شود. این واقعیت نشان‌دهنده خاصیت ضدآپوپوتیک در هیبوکامپ موش است (۳۳).

کاسپازها پروتئازهای اختصاصی آسپارتات وابسته به سیستئین هستند که در مسیرهای آپوپتوز دخالت دارند. کاسپازهای -۸، -۶ و -۷ آغازگرهای بالادستی و -۳، -۶ و -۷ آنزیم‌های عملکردی پایین دستی هستند (۳۴). کاسپاز-۳ یک عامل آپوپتوز ضروری برای تجزیه اسکلت سلولی، نابودی هسته و سایر تغییرات سلولی در فرآیند آپوپتوز است. شواهد نشان می‌دهد که مهار کاسپاز-۳ می‌تواند به طور قابل توجهی آسیب‌ها را کاهش دهد (۳۵). مسیرهای سیگنال‌دهی درون سلولی که فرآیند آپوپتوز را فعال می‌کنند نیز می‌توانند منجر به التهاب شوند. به عنوان مثال، TNF α در سلول‌های اندوتیال مغز، کاسپاز-۳ را فعال و با القای عوامل التهابی منجر به آپوپتوز می‌شود. نتایج ما نشان داد که متآمفتامین می‌تواند فعالیت کاسپاز-۳ را در سلول‌های PC12 افزایش دهد و پنتوکسی‌فیلین می‌تواند فعالیت کاسپاز-۳ را از طریق

References

1. da Silva DD, Silva JP, Carmo H, Carvalho F. Neurotoxicity of psychoactive substances: A mechanistic overview. *Curr Opin Toxicol* 2021;28:76-83. doi: [10.1016/j.cotox.2021.10.002](https://doi.org/10.1016/j.cotox.2021.10.002)
2. Araki T, Ikegaya Y, Koyama R. The effects of microglia-and astrocyte-derived factors on neurogenesis in health and disease. *Eur J Neurosci* 2021;54:5880-901. doi: [10.1111/ejn.14969](https://doi.org/10.1111/ejn.14969)
3. Snyder JS, Drew MR. Functional neurogenesis over the years. *Behav Brain Res* 2020;382:112470. doi: [10.1016/j.bbr.2020.112470](https://doi.org/10.1016/j.bbr.2020.112470)
4. Cui Z, Bach P, Ti L, Hayashi K, Morgan J, Milloy M, et al. Opioid agonist therapy engagement and crystal methamphetamine use: The impact of unregulated opioid use in Vancouver, Canada. *Int J Drug Policy* 2022;110:103879. doi: [10.1016/j.drupo.2022.103879](https://doi.org/10.1016/j.drupo.2022.103879)
5. Wang X, Northcutt AL, Cochran TA, Zhang X, Fabisiak TJ, Haas ME, et al. Methamphetamine activates toll-like receptor 4 to induce central immune signaling within the ventral tegmental area and contributes to extracellular dopamine increase in the nucleus accumbens shell. *ACS Chem Neurosci* 2019;10:3622-34. doi: [10.1021/acscchemneuro.9b00225](https://doi.org/10.1021/acscchemneuro.9b00225)
6. Sim HI, Kim DH, Kim M. Cellular messenger molecules mediating addictive drug-induced cognitive impairment: cannabinoids, ketamine, methamphetamine, and cocaine. *FJPS* 2022;8:1-8. doi: [10.1186/s43094-022-00408-6](https://doi.org/10.1186/s43094-022-00408-6)
7. Wang B, Chen T, Xue L, Wang J, Jia Y, Li G, et al. Methamphetamine exacerbates neuroinflammatory response to lipopolysaccharide by activating dopamine D1-like receptors. *Int Immunopharmacol* 2019;73:1-9. doi: [10.1016/j.intimp.2019.04.053](https://doi.org/10.1016/j.intimp.2019.04.053)
8. Xue Z, Siemian JN, Johnson BN, Zhang Y, Li J-X. Methamphetamine-induced impulsivity during chronic methamphetamine treatment in rats: effects of the TAAR 1 agonist RO5263397. *Neuropharmacology* 2018;129:36-46. doi: [10.1016/j.neuropharm.2017.11.012](https://doi.org/10.1016/j.neuropharm.2017.11.012)
9. Zoubková H, Tomášková A, Nohejlová K, Černá M, Šlamberová R. Prenatal exposure to methamphetamine: up-regulation of brain receptor genes. *Front Neurosci* 2019;13:771. doi: [10.3389/fnins.2019.00771](https://doi.org/10.3389/fnins.2019.00771)
10. Sayin H. A schematic overview of addiction: molecular effects of cocaine, methamphetamine and morphine on limbic neurons. *Forensic Sci Res* 2019;4:1-11. doi: [10.1021/acscchemneuro.9b00225](https://doi.org/10.1021/acscchemneuro.9b00225)
11. Hou H, Wang L, Fu T, Papasergi M, Yule DI, Xia H. Magnesium acts as a second messenger in the regulation of NMDA receptor-mediated CREB signaling in neurons. *Mol Neurobiol* 2020;57:2539-50. doi: [10.1007/s12035-020-01871-z](https://doi.org/10.1007/s12035-020-01871-z)
12. Guo L-H, Schlueter H. The innate immunity of the central nervous system in chronic pain: the role of Toll-like receptors. *CMLS* 2007;64:1128-36. doi: [10.1007/s00018-007-6494-3](https://doi.org/10.1007/s00018-007-6494-3)
13. Dugue R, Nath M, Dugue A, Barone FC. Roles of pro-and anti-inflammatory cytokines in traumatic brain injury and acute ischemic stroke. *Mech Neuroinflamm* 2017;211:4901. doi: [10.5772/intechopen.70099](https://doi.org/10.5772/intechopen.70099)
14. Seo MH, Eo MY, Myoung H, Kim SM, Lee JH. The effects of pentoxifylline and tocopherol in jaw osteomyelitis. *JKAOMS*;46:19. doi: [10.5125/jkaoms.2020.46.1.19](https://doi.org/10.5125/jkaoms.2020.46.1.19)
15. El-Haggar SM, Eissa MA, Mostafa TM, El-Attar KS, Abdallah MS. The phosphodiesterase inhibitor pentoxifylline as a novel adjunct to antidepressants in major depressive disorder patients: a proof-of-concept, randomized, double-blind, placebo-controlled trial. *Psychother Psychosom* 2018;87:331-9. doi: [10.1159/000492619](https://doi.org/10.1159/000492619)
16. Kummarri E, Gibbs A, Riggs C, Fellman C, Stokes J, Thomason J, et al. Effects of pentoxifylline on whole blood IL-2 and IFN-gamma gene expression in normal dogs. *J Vet Med Sci* 2020;6:19-24. doi: [10.1002/vms3.204](https://doi.org/10.1002/vms3.204)
17. Zhang J, Späth SS, Marjani SL, Zhang W, Pan X. Characterization of cancer genomic heterogeneity by next-generation sequencing advances precision medicine in cancer treatment. *Precis Clin Med* 2018;1:29-48. doi: [10.1093/pemed/phy007](https://doi.org/10.1093/pemed/phy007)

عملکرد ضدالتهابی کاهش دهد. رودامین ۱۲۳ یک رنگ فلورسانس است که برای نظارت بر پتانسیل غشایی میتوکندری استفاده می‌شود (۳۶). کاهش رودامین ۱۲۳ عدم تعادل پتانسیل غشا را در دو طرف غشای داخلی میتوکندری کاهش می‌دهد و مقدار ATP را که در حضور متآفتامین در سلول‌های PC12 رخ می‌دهد کاهش می‌دهد ۱۲۳ و ۳۷). افزایش وابسته به دوز پنتوکسیفیلین در رودامین ۱۲۳ نشان‌دهنده عملکرد مناسب میتوکندری است و نشان می‌دهد که اثر ضدآپتونز بر مرگ سلولی ناشی از متآفتامین دارد. در این مطالعه نشان دادیم که پنتوکسیفیلین در سلول PC12 تیمار شده با متآفتامین، فعالیت کاسپاز-۳ و تولید رادیکال هیدروکسیل (OH) را کاهش و پتانسیل غشا میتوکندری را تنظیم می‌کند. علاوه بر این، دوز بهینه برای عملکرد پنتوکسیفیلین ۱۰۰ میکرومولار بود. مطالعات قبلی نشان داده است پنتوکسیفیلین موجب کاهش فعالیت کاسپاز ۳ در ژریل‌های ایسکمیک می‌شود (۳۹ و ۴۰).

موتفقی و همکاران نشان دادند که داروی پنتوکسیفیلین موجب کاهش فعالیت آنزیم کاسپاز در سلول‌های عصبی در مغز موش‌هایی صحرابی تیمار شده با داروی اکستازی می‌شود. در این تحقیق نشان داده شد که پنتوکسیفیلین موجب مهار آپتونز در سلول‌هایی عصبی از طریق مهار مسیر کاسپازی و کاهش فعالیت اکسیدانی در سلول‌های عصبی می‌شود (۴۰). از طرفی وانگ و همکاران در سال ۲۰۲۱ نشان دادند که داروی پنتوکسیفیلین با افزایش فعالیت آنتیاکسیدانی از طریق تحريك مسیر داخل سلولی cAMP-CREB موجب کاهش روند پیری در موش‌های صحرابی می‌گردد (۴۱). داده‌های حاصل از نتایج مطالعه ما تأییدکننده مطالعات سایر محققان می‌باشد.

در این مطالعه، ما نشان دادیم که پنتوکسیفیلین به عنوان مهارکننده آنزیم فسفودی استراز و افزایش دهنده سطح cAMP در سلول‌ها، اثر محافظتی بر مرگ سلولی ناشی از متآفتامین در رده سلولی PC12 PTX از طریق ویژگی‌های ضدالتهابی آن دارد و این نشان می‌دهد که می‌تواند به عنوان داروی مکمل در درمان اعتیاد به متآفتامین مطرح باشد اما مطالعات بیشتری بر روی انواع رده‌های سلولی و مدل‌های حیوانی موردنیاز است.

تشکر و قدردانی

این مقاله برگرفته از طرح تحقیقاتی مصوب در دانشگاه علوم پزشکی بقیه الله است که با کد اخلاق IR.BMSU.REC.1397.362 شوری به تصویب رسیده است. نویسنده‌گان مراتب تشکر و قدردانی خود را از معاونت تحقیقات و فناوری دانشگاه علوم پزشکی بقیه الله برای حمایت‌های مادی و معنوی اعلام می‌دارند.

18. Ghasemi M, Turnbull T, Sebastian S, Kempson I. The MTT assay: utility, limitations, pitfalls, and interpretation in bulk and single-cell analysis. *Int J Mol Sci* 2021;22:12827.
19. Kirkik D, Hacimustafaoglu F, Altunkanat D. Cytotoxic effects of ceteareth-20 and paraffinium liquidum. *Vitro* 2022. doi: [10.23937/2572-4061.1510043](https://doi.org/10.23937/2572-4061.1510043)
20. Rezaei S, Kashanian S, Bahrami Y, Zhaleh H, Cruz LJ. Enhanced intracellular delivery of curcumin by chitosan-lipoic acid as reduction-responsive nanoparticles. *Curr Pharm Biotechnol* 2021;22:622-35. doi: [10.2174/1389201021999200727153513](https://doi.org/10.2174/1389201021999200727153513)
21. Zorova LD, Demchenko EA, Korshunova GA, Tashlitsky VN, Zorov SD, Andrianova NV, et al. Is the mitochondrial membrane potential ($\Delta \Psi$) correctly assessed? Intracellular and intramitochondrial modifications of the $\Delta \Psi$ probe, Rhodamine 123. *Int J Mol Sci* 2022;23:482. doi: [10.3390/ijms23010482](https://doi.org/10.3390/ijms23010482)
22. Sadler DG, Barlow J, Draijer R, Jones H, Thijssen DH, Stewart CE. (-)-Epicatechin alters reactive oxygen and nitrogen species production independent of mitochondrial respiration in human vascular endothelial cells. *Oxid Med Cell Longev* 2022;2022. doi: [10.1155/2022/4413191](https://doi.org/10.1155/2022/4413191)
23. Simpson DS, Oliver PL. ROS generation in microglia: understanding oxidative stress and inflammation in neurodegenerative disease. *Antioxidants* 2020;9:743. doi: [10.3390/antiox9080743](https://doi.org/10.3390/antiox9080743)
24. Zeng Y, Chen Y, Zhang S, Ren H, Xia J, Liu M, et al. Natural products in modulating methamphetamine-induced neuronal apoptosis. *Front Pharmacol* 2021;12. doi: [10.3389/fphar.2021.805991](https://doi.org/10.3389/fphar.2021.805991)
25. Kashani FL, Vaziri S, Vaziri A. Effects of Methamphetamine and narcotics on sexual high-risk behaviors. *Int J High Risk Behav Addict* 2022;11. doi: [10.5812/ijhrba-127007](https://doi.org/10.5812/ijhrba-127007)
26. Wang B, Chen T, Wang J, Jia Y, Ren H, Wu F, et al. Methamphetamine modulates the production of interleukin-6 and tumor necrosis factor-alpha via the cAMP/PKA/CREB signaling pathway in lipopolysaccharide-activated microglia. *Int Immunopharmacol* 2018;56:168-78. doi: [10.1016/j.intimp.2018.01.024](https://doi.org/10.1016/j.intimp.2018.01.024)
27. Baratz R, Tweedie D, Wang J-Y, Rubovitch V, Luo W, Hoffer BJ, et al. Transiently lowering tumor necrosis factor- α synthesis ameliorates neuronal cell loss and cognitive impairments induced by minimal traumatic brain injury in mice. *J Neuroinflammation* 2015;12:1-14. doi: [10.1186/s12974-015-0237-4](https://doi.org/10.1186/s12974-015-0237-4)
28. Neves KRT, Nobre HV, Leal LKA, de Andrade GM, Brito GAdC, Viana GSdB. Pentoxifylline neuroprotective effects are possibly related to its anti-inflammatory and TNF-alpha inhibitory properties, in the 6-OHDA model of Parkinson's disease. *Parkinsons Dis* 2015;2015. doi: [10.1155/2015/108179](https://doi.org/10.1155/2015/108179)
29. Nouri M, Movassaghi S, Soleimani M, Sharifi ZN. Protective effect of pentoxifylline on male Wistar rat testicular germ cell apoptosis induced by 3, 4-methylenedioxymethamphetamine. *IJBMS* 2016;19:646.
30. Movassaghi S, Koohpar ZK, Hashemi M, Semnani SJ, Sharifi ZN. Neuroprotective Effect of Pentoxifylline on 3, 4-Methylenedioxymethamphetamine-Induced Apoptosis in CA1 Cells of Wistar Rat Hippocampus. *Galen Med* 2019;8:e963. doi: [10.31661/gmj.v8i0.963](https://doi.org/10.31661/gmj.v8i0.963)
31. Kim SJ, Kim HS, Seo YR. Understanding of ROS-inducing strategy in anticancer therapy. *Oxid Med Cell Longev* 2019; doi: [10.1155/2019/5381692](https://doi.org/10.1155/2019/5381692)
32. Su L-J, Zhang J-H, Gomez H, Murugan R, Hong X, Xu D, et al. Reactive oxygen species-induced lipid peroxidation in apoptosis, autophagy, and ferroptosis. *Oxid. Med. Cell. Longev.* 2019;2019. doi: [10.1155/2019/5080843](https://doi.org/10.1155/2019/5080843)
33. Park JH, Kim SE, Jin JJ, Choi HS, Kim CJ, Ko IG. Pentoxifylline alleviates perinatal hypoxic-ischemia-induced short-term memory impairment by suppressing apoptosis in the hippocampus of rat pups. *Int Neurotol J* 2016;20:107. doi: [10.5213/inj.1632532.266](https://doi.org/10.5213/inj.1632532.266)
34. Green DR. Inflammasomes and other caspase-activation platforms. *Cold Spring Harb Perspect Biol* 2022;14:a041061. doi: [10.1101/cshperspect.a041061](https://doi.org/10.1101/cshperspect.a041061)
35. Mirkamali M, Momeni HR, Etemadi T, Mosayebi G, Komijani M. Involvement of caspase-3 in apoptosis of human lymphocytes exposed to cadmium chloride. *Hum Exp Toxicol* 2022;41:09603271221121796. doi: [10.1177/09603271221121796](https://doi.org/10.1177/09603271221121796)
36. Baracca A, Sgarbi G, Solaini G, Lenaz G. Rhodamine 123 as a probe of mitochondrial membrane potential: evaluation of proton flux through F0 during ATP synthesis. *Biochim Biophys Acta Bioenerg* 2003;1606:137-46. doi: [10.1016/S0005-2728\(03\)00110-5](https://doi.org/10.1016/S0005-2728(03)00110-5)
37. Esteras N, Adjobo-Hermans MJ, Abramov AY, Koopman WJ. Visualization of mitochondrial membrane potential in mammalian cells. *Methods Cell Biol* 2020;155:221-45. doi: [10.1016/bs.mcb.2019.10.003](https://doi.org/10.1016/bs.mcb.2019.10.003)
38. Rashedinia M, Saberzadeh J, Khodaei F, Mashayekhi Sardoei N, Alimohammadi M, Arabsolghar R. Effect of sodium benzoate on apoptosis and mitochondrial membrane potential after aluminum toxicity in PC-12 cell line. *Iran J Toxicol* 2020;14:237-44. doi: [10.32598/IJT.10.4.677.1](https://doi.org/10.32598/IJT.10.4.677.1)
39. Kim M, Shin MS, Lee JM, Cho HS, Kim CJ, Kim YJ, et al. Inhibitory effects of isoquinoline alkaloid berberine on ischemia-induced apoptosis via activation of phosphoinositide 3-kinase/protein kinase B signaling pathway. *Int Neurotol J* 2014;18:115. doi: [10.5213/inj.2014.18.3.115](https://doi.org/10.5213/inj.2014.18.3.115)
40. Seo T-B, Kim T-W, Shin M-S, Ji E-S, Cho H-S, Lee J-M, et al. Aerobic exercise alleviates ischemia-induced memory impairment by enhancing cell proliferation and suppressing neuronal apoptosis in hippocampus. *Int Neurotol J* 2014;18:187. doi: [10.5213/inj.2014.18.4.187](https://doi.org/10.5213/inj.2014.18.4.187)
41. Wang Y, Zhang T, Zhao H, Qi C, Ji X, Yan H, et al. Pentoxifylline enhances antioxidative capability and promotes mitochondrial biogenesis in d-galactose-induced aging mice by increasing Nrf2 and PGC-1 α through the cAMP-CREB pathway. *Oxid Med Cell Longev* 2021;2021. doi: [10.1155/2021/6695613](https://doi.org/10.1155/2021/6695613)



Protective Effects of Pentoxifylline on Methamphetamine Induced Cell Death in PC12 Cells

Komail Amini (M.Sc.)¹, Hossein Zhaleh (Ph.D.)^{2*}, Mohammad Reza Neurani (Ph.D.)³, Ramezan Ali Taheri (Ph.D.)³

1- Dept. of Biotechnology, Faculty of Biological Science and Technology, University of Isfahan, Isfahan, Iran.

2- Substance Abuse Prevention Research Center, Kermanshah University Medical Sciences, Kermanshah, Iran.

3- Nano Biotechnology Research Center, Baqiyatallah University of Medical Sciences, Tehran, Iran.

Received: 20 September 2022, Accepted: 16 January 2023

Abstract:

Introduction: Methamphetamine abuse has been a global concern in the last few decades. An estimated 3.5 million people have been affected by methamphetamine abuse. Methamphetamine induces apoptosis in most cell lines. Pentoxifylline, as a phosphodiesterase inhibitor, can reduce methamphetamine-induced cell death by inflammation reduction.

Methods: PC12 cells were grown in a DMEM culture medium. Assays used in this study are listed below: MTT test for cell viability detection, LDH test for cytotoxicity measurement, caspase activity colorimetric assay kit (Bio-techne) for caspase-3 activity diagnosis, Rhodamine 123 for detection of mitochondrial membrane potential, fluorescence microscope for measurement of antioxidant enzyme activities.

Results: Pentoxifylline increased cell viability and the Rhodamine-123 absorbance. Besides, it reduced cell cytotoxicity, caspase-3 activity, and (OH) generation in all concentrations of 1 nM to 100 µM ($P<0.05$) by an optimal concentration of 100 µM.

Conclusion: In conclusion, Pentoxifylline, as a phosphodiesterase inhibitor, can significantly reduce methamphetamine-induced cell death through its anti-inflammatory effects.

Keywords: Methamphetamine, Pentoxifylline, Apoptosis, Cell death.

Conflict of Interest: No

*Corresponding author: H. Zhaleh, Email: hossain_jale@yahoo.com

Citation: Amini K, Zhaleh H, Neurani MR, Taheri RA. Protective effects of pentoxifylline on methamphetamine induced cell death in PC12 cells. Journal of Knowledge & Health in Basic Medical Sciences 2023;18(1):60-67.